



Санкт-Петербургский  
государственный  
университет



УДК 004.8+577.2+519.65

# Определение особых точек кривой накопления флуоресценции полимеразной цепной реакции методами машинного обучения без учителя

А. В. Орехов<sup>1</sup>, М. А. Потехина<sup>2</sup>

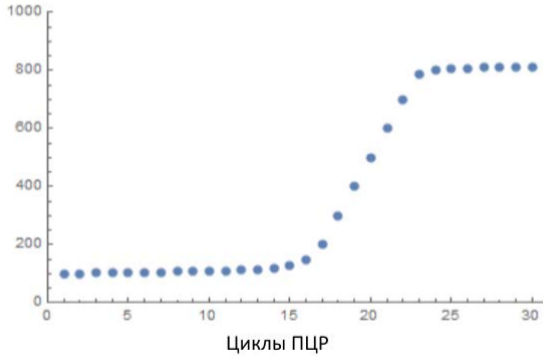
<sup>1</sup> Санкт-Петербургский государственный университет

<sup>2</sup> ООО «Фрактал Био»

2023



Яркость флуоресценции





- $\xi = \xi(t, \omega)$   $y_t$



- $\xi = \xi(t, \omega) \quad y_t$

- $H_0$  и  $H_1$

Нулевая гипотеза  $H_0$  — числовая последовательность  $y_t$  возрастает линейно,

альтернативная гипотеза  $H_1$  — последовательность  $y_t$  возрастает нелинейно.



•  $H_0$      $H_1$



- $H_0$        $H_1$
- **Orekhov A.V. Quasi-Deterministic Processes with Monotonic Trajectories and Unsupervised Machine Learning. Mathematics. 2021,9, 2301. <https://doi.org/10.3390/math9182301>**



- $H_0$   $H_1$
- **Orekhov A.V. Quasi-Deterministic Processes with Monotonic Trajectories and Unsupervised Machine Learning. Mathematics. 2021,9, 2301. <https://doi.org/10.3390/math9182301>**
- $y_t$   $t_0$



- $H_0$        $H_1$
- **Orekhov A.V. Quasi-Deterministic Processes with Monotonic Trajectories and Unsupervised Machine Learning. Mathematics. 2021,9, 2301. <https://doi.org/10.3390/math9182301>**
- $y_t$        $t_0$
- $y_{t_0-k}, \dots, y_{t_0-2}, y_{t_0-1}$





- $\xi = \xi(t, \omega)$ , где  $t$  — дискретное время,  $\omega$  — случайное событие принадлежащие некоторому вероятностному пространству  $(\Omega, \mathcal{F}, P)$



- $\xi = \xi(t, \omega)$ , где  $t$  — дискретное время,  $\omega$  — случайное событие принадлежащие некоторому вероятностному пространству  $(\Omega, \mathcal{F}, P)$
- $\sigma$ -алгебр  $\mathfrak{F}_n \in \mathcal{F}$  порождённых процессом  $\xi = \xi(t, \omega)$



- $\xi = \xi(t, \omega)$ , где  $t$  — дискретное время,  $\omega$  — случайное событие принадлежащие некоторому вероятностному пространству  $(\Omega, \mathcal{F}, P)$
- $\sigma$ -алгебр  $\mathfrak{F}_n \in \mathcal{F}$  порождённых процессом  $\xi = \xi(t, \omega)$
- **Мазалов В.В. Математическая теория игр и приложения. СПб.: Издательство «Лань», 2017. 448 с.**



- $\xi = \xi(t, \omega)$ , где  $t$  — дискретное время,  $\omega$  — случайное событие принадлежащие некоторому вероятностному пространству  $(\Omega, \mathcal{F}, P)$
- $\sigma$ -алгебр  $\mathfrak{F}_n \in \mathcal{F}$  порождённых процессом  $\xi = \xi(t, \omega)$
- **Мазалов В.В. Математическая теория игр и приложения. СПб.: Издательство «Лань», 2017. 448 с.**
- $\tau$   $\xi = \xi(t, \omega)$   $t_0$   $\tau$  слева от  $t_0$



- $\xi = \xi(t, \omega)$ , где  $t$  — дискретное время,  $\omega$  — случайное событие принадлежащие некоторому вероятностному пространству  $(\Omega, \mathcal{F}, P)$
- $\sigma$ -алгебр  $\mathfrak{F}_n \in \mathcal{F}$  порождённых процессом  $\xi = \xi(t, \omega)$
- **Мазалов В.В. Математическая теория игр и приложения. СПб.: Издательство «Лань», 2017. 448 с.**
- $\tau$  — момент остановки  $\xi = \xi(t, \omega)$  слева от  $t_0$
- $\tau$  — марковский момент относительно неубывающей последовательности  $\sigma$ -алгебр  $\mathfrak{F}_n \in \mathcal{F}$  порождённых процессом  $\xi = \xi(t, \omega)$



- $\xi = \xi(t, \omega)$ , где  $t$  — дискретное время,  $\omega$  — случайное событие принадлежащие некоторому вероятностному пространству  $(\Omega, \mathcal{F}, P)$
- $\sigma$ -алгебр  $\mathfrak{F}_n \in \mathcal{F}$  порождённых процессом  $\xi = \xi(t, \omega)$
- **Мазалов В.В. Математическая теория игр и приложения. СПб.: Издательство «Лань», 2017. 448 с.**
- $\tau$  — момент остановки  $\xi = \xi(t, \omega)$  слева от  $t_0$
- $\tau$  — марковский момент относительно неубывающей последовательности  $\sigma$ -алгебр  $\mathfrak{F}_n \in \mathcal{F}$  порождённых процессом  $\xi = \xi(t, \omega)$
- **Булинский А.В., Ширяев А.Н. Теория случайных процессов. М: Лаборатория Базовых Знаний, ФИЗМАТЛИТ, 2003, 400 с.**



- $\xi = \xi(t, \omega)$ , где  $t$  — дискретное время,  $\omega$  — случайное событие принадлежащие некоторому вероятностному пространству  $(\Omega, \mathcal{F}, P)$
- $\sigma$ -алгебр  $\mathfrak{F}_n \in \mathcal{F}$  порождённых процессом  $\xi = \xi(t, \omega)$
- **Мазалов В.В. Математическая теория игр и приложения. СПб.: Издательство «Лань», 2017. 448 с.**
- $\tau$  — момент остановки  $\xi = \xi(t, \omega)$  слева от  $t_0$
- $\tau$  — марковский момент относительно неубывающей последовательности  $\sigma$ -алгебр  $\mathfrak{F}_n \in \mathcal{F}$  порождённых процессом  $\xi = \xi(t, \omega)$
- **Булинский А.В., Ширяев А.Н. Теория случайных процессов. М: Лаборатория Базовых Знаний, ФИЗМАТЛИТ, 2003, 400 с.**
- **Shiryaev A.N. Optimal Stopping Rules, Springer-Verlag Berlin Heidelberg, 2008. XII, 220 p. <https://doi.org/10.1007/978-3-540-74011-7>**



- $y_t = (i, y_i)$ , где  $i$  — натуральный аргумент,  $y_i$  — соответствующее значение числовой последовательности  $y_t$





- $y_t = (i, y_i)$ , где  $i$  — натуральный аргумент,  $y_i$  — соответствующее значение числовой последовательности  $y_t$
- $(i, y_i) = y_i$



- $y_t = (i, y_i)$ , где  $i$  — натуральный аргумент,  $y_i$  — соответствующее значение числовой последовательности  $y_t$
- $(i, y_i) = y_i$
- $y_t = y_0, y_1, \dots, y_{k-1} \quad y_0 = 0$



- $y_t = (i, y_i)$ , где  $i$  — натуральный аргумент,  $y_i$  — соответствующее значение числовой последовательности  $y_t$
- $(i, y_i) = y_i$
- $y_t = y_0, y_1, \dots, y_{k-1} \quad y_0 = 0$
- 

$$y_0 = y_j - y_j, y_1 = y_{j+1} - y_j, \dots, y_{k-1} = y_{j+k-1} - y_j. \quad (1)$$



- $y_t = (i, y_i)$ , где  $i$  — натуральный аргумент,  $y_i$  — соответствующее значение числовой последовательности  $y_t$

- $(i, y_i) = y_i$

- $y_t = y_0, y_1, \dots, y_{k-1} \quad y_0 = 0$

- 

$$y_0 = y_j - y_j, y_1 = y_{j+1} - y_j, \dots, y_{k-1} = y_{j+k-1} - y_j. \quad (1)$$

- $y_t = f(t) \quad y_0, y_1, \dots, y_{k-1}$



- $y_t = (i, y_i)$ , где  $i$  — натуральный аргумент,  $y_i$  — соответствующее значение числовой последовательности  $y_t$

- $(i, y_i) = y_i$

- $y_t = y_0, y_1, \dots, y_{k-1} \quad y_0 = 0$

- 

$$y_0 = y_j - y_j, y_1 = y_{j+1} - y_j, \dots, y_{k-1} = y_{j+k-1} - y_j. \quad (1)$$

- $y_t = f(t) \quad y_0, y_1, \dots, y_{k-1}$

- 

$$\delta_f^2(k_0) = \sum_{i=0}^{k-1} (f(i) - y_i)^2. \quad (2)$$



•  $f(t) \quad Y \quad y_t$



- $f(t) \in Y$      $y_t$

- 

$$\delta_f^2(k_0) = \min_{f \in Y} \sum_{i=0}^{k-1} (f(i) - y_i)^2,$$



- $f(t) \in Y, y_t$

- 

$$\delta_f^2(k_0) = \min_{f \in Y} \sum_{i=0}^{k-1} (f(i) - y_i)^2,$$

- $y_t \in f(t), y_0, y_1, \dots, y_{k-1} \quad (2)$





- $f(t) \in Y, y_t$

- 

$$\delta_f^2(k_0) = \min_{f \in Y} \sum_{i=0}^{k-1} (f(i) - y_i)^2,$$

- $y_t \in f(t), y_0, y_1, \dots, y_{k-1} \quad (2)$

- 

$$\delta_i^2(k_0) = \sum_{i=0}^{k-1} (a \cdot i + b - y_i)^2. \quad (3)$$



$$\delta^2(k_0) = \delta_{lf}^2(k_0) = \delta_l^2(k_0) - \delta_f^2(k_0).$$

Будем говорить, что вблизи элемента  $y_{k-1}$  тип возрастания последовательности  $y_t$  изменился с линейного на нелинейный, если для узлов  $y_0, y_1, \dots, y_{k-1}$  справедливо неравенство  $\delta^2(k_0) \leq 0$ , а для набора узлов  $y_1, y_2, \dots, y_k$ , сдвинутых на один шаг дискретности вправо, нелинейная аппроксимация стала точнее линейной, т. е.  $\delta^2(k_0) > 0$ . Иначе, в терминах последовательного статистического анализа: марковским моментом для случайного процесса  $\xi = \xi(t, \omega)$ , с монотонно возрастающей траекторией  $y_t$  будет

$$\tau = \min\{t \mid \delta^2(k_0) > 0\},$$

при котором отвергается гипотеза  $H_0$ , и принимается альтернативная гипотеза  $H_1$ .



- $a, b$      $f(x) = ax + b$      $y_0, y_1, \dots, y_{k-1}$



- $a, b$      $f(x) = ax + b$      $y_0, y_1, \dots, y_{k-1}$

- 

$$f_j(a, b) = \sum_{i=0}^{k-1} (a \cdot i + b - y_i)^2 .$$



- $a, b$      $f(x) = ax + b$      $y_0, y_1, \dots, y_{k-1}$

- $$f_l(a, b) = \sum_{i=0}^{k-1} (a \cdot i + b - y_i)^2.$$

- $$\frac{\partial f_l}{\partial a} = 2a \sum_{i=0}^{k-1} i^2 + 2b \sum_{i=0}^{k-1} i - 2 \sum_{i=0}^{k-1} i \cdot y_i,$$

- $$\frac{\partial f_l}{\partial b} = 2a \sum_{i=0}^{k-1} i + 2b \sum_{i=0}^{k-1} 1 - 2 \sum_{i=0}^{k-1} y_i$$



•  $a, b$      $f(x) = ax + b$      $y_0, y_1, \dots, y_{k-1}$

•

$$f_l(a, b) = \sum_{i=0}^{k-1} (a \cdot i + b - y_i)^2.$$

•

$$\frac{\partial f_l}{\partial a} = 2a \sum_{i=0}^{k-1} i^2 + 2b \sum_{i=0}^{k-1} i - 2 \sum_{i=0}^{k-1} i \cdot y_i,$$

$$\frac{\partial f_l}{\partial b} = 2a \sum_{i=0}^{k-1} i + 2b \sum_{i=0}^{k-1} 1 - 2 \sum_{i=0}^{k-1} y_i$$

•

$$\begin{cases} \frac{k(k-1)(2k-1)}{6} \cdot a + \frac{k(k-1)}{2} \cdot b = y_1 + 2y_2 + \dots + (k-1)y_{k-1}, \\ \frac{k(k-1)}{2} \cdot a + k \cdot b = y_0 + y_1 + y_2 + \dots + y_{k-1}. \end{cases}$$



$$a = \frac{6}{k(k^2 - 1)} \sum_{i=0}^{k-1} (2i + 1 - k)y_i, \quad b = \frac{2}{k(k + 1)} \sum_{i=0}^{k-1} (2k - 1 - 3i)y_i. \quad (4)$$



- $$a = \frac{6}{k(k^2 - 1)} \sum_{i=0}^{k-1} (2i + 1 - k)y_i, \quad b = \frac{2}{k(k + 1)} \sum_{i=0}^{k-1} (2k - 1 - 3i)y_i. \quad (4)$$

- (3) и (4)





$$a = \frac{6}{k(k^2 - 1)} \sum_{i=0}^{k-1} (2i + 1 - k)y_i, \quad b = \frac{2}{k(k + 1)} \sum_{i=0}^{k-1} (2k - 1 - 3i)y_i. \quad (4)$$

- (3) и (4)
- Для натуральных узлов  $y_0, y_1, y_2$  линейная аппроксимирующая функция имеет вид:

$$ax + b = \frac{1}{6} \left( 3y_2 \cdot x + (2y_1 - y_2) \right).$$



$$a = \frac{6}{k(k^2 - 1)} \sum_{i=0}^{k-1} (2i + 1 - k)y_i, \quad b = \frac{2}{k(k + 1)} \sum_{i=0}^{k-1} (2k - 1 - 3i)y_i. \quad (4)$$

- (3) и (4)
- Для натуральных узлов  $y_0, y_1, y_2$  линейная аппроксимирующая функция имеет вид:

$$ax + b = \frac{1}{6} \left( 3y_2 \cdot x + (2y_1 - y_2) \right).$$

- Тогда

$$\delta_i^2(3_0) = \sum_{i=0}^2 \left( \frac{3y_2 \cdot i + (2y_1 - y_2)}{6} - y_i \right)^2 = \frac{1}{6} \left( y_2 - 2y_1 \right)^2. \quad (5)$$



- Аналогично для узлов  $y_0, y_1, y_2, y_3$

$$\delta_I^2(4_0) = \frac{1}{10} \left( 7y_1^2 + 7y_2^2 + 3y_3^2 - 2y_1(2y_2 + y_3) - 8y_2y_3 \right). \quad (6)$$



- Аналогично для узлов  $y_0, y_1, y_2, y_3$

$$\delta_I^2(4_0) = \frac{1}{10} \left( 7y_1^2 + 7y_2^2 + 3y_3^2 - 2y_1(2y_2 + y_3) - 8y_2y_3 \right). \quad (6)$$

- И для узлов  $y_0, y_1, y_2, y_3, y_4$

$$\delta_I^2(5_0) = \frac{1}{10} \left( 7y_1^2 + 8y_2^2 + 7y_3^2 + 4y_4^2 - 2y_1(2y_2 + y_3) - 4y_2(y_3 + y_4) - 8y_3y_4 \right). \quad (7)$$



Обозначим квадратичную погрешность неполной параболической аппроксимации в классе функций  $cx^2 + d$  по  $k$  натуральным узлам  $y_0, y_1, \dots, y_{k-1}$  как

$$\delta_q^2(k_0) = \sum_{i=0}^{k-1} (c \cdot i^2 + d - y_i)^2. \quad (8)$$

Используя метод наименьших квадратов вычислим коэффициенты  $c$  и  $d$ ; для этого найдём локальный минимум функции

$$f_q(c, d) = \sum_{i=0}^{k-1} ((c \cdot i^2 + d) - y_i)^2.$$



$$\frac{\partial f_q}{\partial c} = 2c \sum_{i=0}^{k-1} i^4 + 2d \sum_{i=0}^{k-1} i^2 - 2 \sum_{i=0}^{k-1} i^2 \cdot y_i,$$

$$\frac{\partial f_q}{\partial d} = 2c \sum_{i=0}^{k-1} i^2 + 2d \sum_{i=0}^{k-1} 1 - 2 \sum_{i=0}^{k-1} y_i,$$

$$\begin{cases} \frac{k(k-1)(2k-1)(3k^2-3k-1)}{30} \cdot c + \frac{k(k-1)(2k-1)}{6} \cdot d = \sum_{i=1}^{k-1} i^2 \cdot y_i, \\ \frac{k(k-1)(2k-1)}{6} \cdot c + k \cdot d = \sum_{i=0}^{k-1} y_i. \end{cases}$$



$$c = \frac{30}{k(k-1)(2k-1)(8k^2-3k-11)} \sum_{i=0}^{k-1} (6i^2 - (k-1)(2k-1))y_i, \quad (9)$$

$$d = \frac{6}{k(8k^2-3k-11)} \sum_{i=0}^{k-1} (3k(k-1) - 1 - 5i^2)y_i. \quad (10)$$

Используя формулы (8), (9) и (10) можно выписать в явном виде неполные параболические (без линейного члена) аппроксимирующие функции. Вычислим квадратичные погрешности для них, а затем, учитывая соответствующие погрешности линейной аппроксимации, формулы (5) – (7), выпишем в явном виде параболические аппроксимационно-оценочные критерии  $\delta_{lq}^2$  по трём, четырём и пяти узлам.



Для натуральных узлов  $y_0, y_1, y_2$  получим

$$cx^2 + d = \frac{2}{52} \left( (7y_2 - 2y_1) \cdot x^2 + (12y_1 - 3y_2) \right).$$

Тогда

$$\delta_q^2(3_0) = \sum_{i=0}^2 \left( \frac{2}{52} \left( (7y_2 - 2y_1) \cdot i^2 + (12y_1 - 3y_2) \right) - y_i \right)^2 = \frac{1}{26} (y_2 - 4y_1)^2.$$

Следовательно,

$$\delta_{lq}^2(3_0) = \delta_l^2(3_0) - \delta_q^2(3_0) = \frac{1}{39} (2y_1^2 - 14y_2y_1 + 5y_2^2). \quad (11)$$





Аналогично для узлов  $y_0, y_1, y_2, y_3$

$$\delta_q^2(4_0) = \frac{1}{98} \left( 61y_1^2 + 73y_2^2 + 13y_3^2 - 44y_1y_2 + 6y_1y_3 - 60y_2y_3 \right).$$

$$\delta_{lq}^2(4_0) = \delta_l^2(4_0) - \delta_q^2(4_0) = \frac{1}{245} \left( 19y_1^2 - 11y_2^2 + 41y_3^2 + 12y_1y_2 - 64y_1y_3 - 46y_2y_3 \right). \quad (12)$$



И для узлов  $y_0, y_1, y_2, y_3, y_4$

$$\delta_q^2(5_0) = \frac{1}{870} \left( 571y_1^2 + 676y_2^2 + 651y_3^2 + 196y_4^2 - 2y_1(224y_2 + 99y_3 - 76y_4) - \right. \\ \left. - 288y_2y_3 - 148y_2y_4 - 648y_3y_4 \right).$$

$$\delta_{lq}^2(5_0) = \delta_l^2(5_0) - \delta_q^2(5_0) = \frac{1}{435} \left( 19y_1^2 + 10y_2^2 - 21y_3^2 + 76y_4^2 + \right. \\ \left. + 2y_1(25y_2 + 6y_3 - 38y_4) - 10y_2(3y_3 + 10y_4) - 24y_3y_4 \right). \quad (13)$$



- $pe^x + q$      $w \arctan x + v$



- $pe^x + q$      $w \arctan x + v$
- $\alpha\varphi(x) + \beta$



- $pe^x + q$      $w \arctan x + v$
- $\alpha\varphi(x) + \beta$
- $\alpha$  и  $\beta$



- $pe^x + q$      $w \arctan x + v$
- $\alpha\varphi(x) + \beta$
- $\alpha$  и  $\beta$
- 

$$f(\alpha, \beta) = \sum_{i=0}^{k-1} (\alpha\varphi(i) + \beta - y_i)^2.$$



- $pe^x + q$      $w \arctan x + v$
- $\alpha\varphi(x) + \beta$
- $\alpha$  и  $\beta$
- 

$$f(\alpha, \beta) = \sum_{i=0}^{k-1} (\alpha\varphi(i) + \beta - y_i)^2.$$

- $f(\alpha, \beta)$ .



- $pe^x + q$      $w \arctan x + v$
- $\alpha\varphi(x) + \beta$
- $\alpha$  и  $\beta$
- 

$$f(\alpha, \beta) = \sum_{i=0}^{k-1} (\alpha\varphi(i) + \beta - y_i)^2.$$

- $f(\alpha, \beta)$ .
- 

$$\frac{\partial f}{\partial \alpha} = 2 \sum_{i=0}^{k-1} \varphi(i)(\alpha\varphi(i) + \beta - y_i);$$

$$\frac{\partial f_e}{\partial \beta} = 2 \sum_{i=0}^{k-1} (\alpha\varphi(i) + \beta - y_i).$$





$$\begin{cases} \alpha \cdot \sum_{i=0}^{k-1} \varphi(i)^2 + \beta \cdot \sum_{i=0}^{k-1} \varphi(i) = \sum_{i=1}^{k-1} \varphi(i) y_i; \\ \alpha \cdot \sum_{i=0}^{k-1} \varphi(i) + k\beta = \sum_{i=1}^{k-1} y_i . \end{cases}$$



$$\begin{cases} \alpha \cdot \sum_{i=0}^{k-1} \varphi(i)^2 + \beta \cdot \sum_{i=0}^{k-1} \varphi(i) = \sum_{i=1}^{k-1} \varphi(i) y_i; \\ \alpha \cdot \sum_{i=0}^{k-1} \varphi(i) + k\beta = \sum_{i=1}^{k-1} y_i. \end{cases}$$

- Затем решим систему линейных уравнений относительно неизвестных  $\alpha$  и  $\beta$

$$\alpha = \frac{k \cdot \sum_{i=1}^{k-1} \varphi(i) y_i - \sum_{i=0}^{k-1} \varphi(i) \cdot \sum_{i=1}^{k-1} y_i}{k \cdot \sum_{i=0}^{k-1} \varphi(i)^2 - \left( \sum_{i=0}^{k-1} \varphi(i) \right)^2}; \quad (14)$$

$$\beta = \frac{\sum_{i=1}^{k-1} y_i \cdot \sum_{i=0}^{k-1} \varphi(i)^2 - \sum_{i=0}^{k-1} \varphi(i) \cdot \sum_{i=1}^{k-1} \varphi(i) y_i}{k \cdot \sum_{i=0}^{k-1} \varphi(i)^2 - \left( \sum_{i=0}^{k-1} \varphi(i) \right)^2}. \quad (15)$$



Квадратичная погрешность аппроксимации натуральных узлов в классе экспоненциальных функций вида  $pe^x + q$  равна

$$\delta_e^2(k_0) = \sum_{i=0}^{k-1} (pe^i + q - y_i)^2.$$

Используя формулы (14) и (15) получим:

$$p = \frac{k \cdot \sum_{i=1}^{k-1} e^i y_i - \sum_{i=0}^{k-1} e^i \cdot \sum_{i=1}^{k-1} y_i}{k \cdot \sum_{i=0}^{k-1} e^{2i} - \left(\sum_{i=0}^{k-1} e^i\right)^2};$$

$$q = \frac{\sum_{i=1}^{k-1} y_i \cdot \sum_{i=0}^{k-1} e^{2i} - \sum_{i=0}^{k-1} e^i \cdot \sum_{i=1}^{k-1} e^i y_i}{k \cdot \sum_{i=0}^{k-1} e^{2i} - \left(\sum_{i=0}^{k-1} e^i\right)^2}.$$



Для экспоненциального критерия по трём узлам  $y_0, y_1, y_2$  получим:

$$\delta_e^2(3_0) \simeq 0.6224y_1^2 - 0.33476y_1y_2 + 0.045015y_2^2.$$

$$\delta_{I_e}^2(3_0) = \delta_I^2(3_0) - \delta_e^2(3_0) \simeq 0.044302y_1^2 - 0.33191y_1y_2 + 0.12165y_2^2.$$

Для узлов  $y_0, y_1, y_2, y_3$

$$\delta_e^2(4_0) \simeq 0.6344y_1^2 + 0.749y_2^2 + y_1(-0.5186y_2 + 0.05939y_3) - 0.4549y_2y_3 + 0.0735y_3^2.$$

$$\delta_{I_e}^2(4_0) = \delta_I^2(4_0) - \delta_e^2(4_0) \simeq 0.06563y_1^2 - 0.04925y_2^2 + \\ + y_1(0.1186y_2 - 0.2594y_3) - 0.3451y_2y_3 + 0.2265y_3^2.$$



И для узлов  $y_0, y_1, y_2, y_3, y_4$

$$\delta_e^2(5_0) \simeq 0.694y_1^2 + 0.752y_2^2 + 0.796y_3^2 + y_2(-0.371y_3 - 0.02968y_4) + \\ + y_1(-0.543y_2 - 0.357y_3 + 0.1474y_4) - 0.511y_3y_4 + 0.0904y_4^2.$$

$$\delta_{le}^2(5_0) = \delta_l^2(5_0) - \delta_e^2(5_0) \simeq 0.00556y_1^2 + 0.0483y_2^2 - 0.0957y_3^2 + \\ + y_2(-0.02895y_3 - 0.370y_4) + y_1(0.1428y_2 + 0.1572y_3 - 0.1474y_4) - 0.2890y_3y_4 + 0.3096y_4^2.$$



Квадратичная погрешность аппроксимации натуральных узлов в классе функций вида  $f(x) = w \arctan x + v$  равна

$$\delta_a^2(k_0) = \sum_{i=0}^{k-1} (w \arctan i + v - y_i)^2.$$

Используя формулы (14) и (15) получим:

$$w = \frac{k \cdot \sum_{i=1}^{k-1} \arctan i \cdot y_i - \sum_{i=0}^{k-1} \arctan i \cdot \sum_{i=1}^{k-1} y_i}{k \cdot \sum_{i=0}^{k-1} \arctan^2 i - \left( \sum_{i=0}^{k-1} \arctan i \right)^2};$$

$$v = \frac{\sum_{i=1}^{k-1} y_i \cdot \sum_{i=0}^{k-1} \arctan^2 i - \sum_{i=0}^{k-1} \arctan i \cdot \sum_{i=1}^{k-1} \arctan i \cdot y_i}{k \cdot \sum_{i=0}^{k-1} \arctan^2 i - \left( \sum_{i=0}^{k-1} \arctan i \right)^2}.$$



Для узлов  $y_0, y_1, y_2$  получим

$$\delta_a^2(3_0) \simeq 0.62985y_1^2 - 0.89361y_1y_2 + 0.31696y_2^2.$$

$$\delta_{la}^2(3_0) = \delta_l^2(3_0) - \delta_a^2(3_0) \simeq 0.036820y_1^2 + 0.226946y_1y_2 - 0.150292y_2^2.$$

Для узлов  $y_0, y_1, y_2, y_3$

$$\delta_a^2(4_0) \simeq 0.75y_1^2 + 0.63932y_2^2 + y_1(-0.5y_2 - 0.5y_3) - 0.81898y_2y_3 + 0.52017y_3^2.$$

$$\delta_{la}^2(4_0) = \delta_l^2(4_0) - \delta_a^2(4_0) \simeq -0.05y_1^2 + 0.06068y_2^2 + y_1(0.1y_2 + 0.3y_3) + 0.01898y_2y_3 - 0.22017y_3^2.$$



И для узлов  $y_0, y_1, y_2, y_3, y_4$

$$\delta_a^2(5_0) \simeq 0.79001y_1^2 + 0.76095y_2^2 + 0.69185y_3^2 + y_2(-0.52998y_3 - 0.55804y_4) + \\ + y_1(-0.36049y_2 - 0.33425y_3 - 0.32005y_4) - 0.66300y_3y_4 + 0.64011y_4^2.$$

$$\delta_{Ia}^2(5_0) = \delta_I^2(5_0) - \delta_a^2(5_0) \simeq -0.090007y_1^2 + 0.039054y_2^2 + 0.0081498y_3^2 - 0.24011y_4^2 + \\ + y_2(0.129980y_3 + 0.15804y_4) + y_1(-0.039511y_2 + 0.134249y_3 + 0.32005y_4) - 0.136998y_3y_4.$$





Формирование набора натуральных узлов  $y_{t_0-k}, \dots, y_{t_0-2}, y_{t_0-1}$ , из левой полуокрестности точки  $y_{t_0}$ , можно рассматривать как некоторое случайное событие  $\Omega_{t_0}$ ; ему будет соответствовать определенное значение квадратичной формы аппроксимационно-оценочного критерия, которое обозначим как  $\delta_{t_0}^2$ . Рассмотрим последовательность случайных событий:

$$\Omega_k, \dots, \Omega_t, \dots \quad (16)$$

и поставим им в соответствие двухэлементное множество исходов  $\{C, B\}$ , где исход  $C$  — событие  $\delta_{t_0}^2 \leq 0$  и  $B$  — событие  $\delta_{t_0}^2 > 0$ .



- Так как вероятность наступления либо  $C$ , либо  $B$  зависит только от набора  $Y_{t_0-k}, \dots, Y_{t_0-2}, Y_{t_0-1}$ , то последовательность случайных событий (16) является цепью Маркова с памятью порядка  $k$ .



- Так как вероятность наступления либо  $C$ , либо  $B$  зависит только от набора  $Y_{t_0-k}, \dots, Y_{t_0-2}, Y_{t_0-1}$ , то последовательность случайных событий (16) является цепью Маркова с памятью порядка  $k$ .
- **Sheng-Jih Wu, Moody T.Chub Markov chains with memory, tensor formulation, and the dynamics of power iteration. Applied Mathematics and Computation. Volume 303, 15 June 2017, Pages 226-239.**  
**<https://doi.org/10.1016/j.amc.2017.01.030>**



- Так как вероятность наступления либо  $C$ , либо  $B$  зависит только от набора  $Y_{t_0-k}, \dots, Y_{t_0-2}, Y_{t_0-1}$ , то последовательность случайных событий (16) является цепью Маркова с памятью порядка  $k$ .
- **Sheng-Jih Wu, Moody T.Chub Markov chains with memory, tensor formulation, and the dynamics of power iteration. Applied Mathematics and Computation. Volume 303, 15 June 2017, Pages 226-239.**  
**<https://doi.org/10.1016/j.amc.2017.01.030>**
- Обнаружение аномалий кривой накопления флуоресценции производится за счет марковских моментов, эти моменты можно определить при помощи аппроксимационно-оценочных критериев. Очевидно, что они (марковские моменты) совпадают с особыми точками кинетической кривой полимеразной цепной реакции, которые, по времени, соответствуют качественным изменениям самого процесса.